

冶金生产机械电力装备講义

电力拖动教研室

东北工学院

1964.8

第三章 不可逆轧钢机的电力装备

3-1 不可逆轧钢机的电力拖动方案

根据轧钢机的工作制度，不可逆轧钢机可分为不可逆不调速轧机和不可逆调速轧机两类。对于不可逆不调速轧机，可用交流同步电动机或异步电动机拖动。至于采用哪一种比较合理，则与电动机容量和轧机的负载图有关，需要作具体的技术经济比较。一般的说，不可逆不调速轧机的负载图可以分成具有不同特点的两类：1)第一类如图 3-1 所示。它的特点是：负载转矩尖峰值很大，同时轧件在轧辊中的轧制时间很短并且两个轧次之间的空载时间比较长。这时可以采用异步电动机带飞轮的拖动装置，在尖峰负载时，利用飞轮放出一部分能量，以减轻尖峰负载对电网的冲击所引起的电网电压的剧烈波动，也可以减小所需电动机的容量。如能满足下列条件，则采用异步电动机带飞轮的拖动装置一般是合适的

$$t_{np} \leq 2 \sim 4 \text{ 秒}$$

和

$$\frac{M_{\max \cdot c}}{M_{\text{ave} \cdot c}} > 2.5 \sim 3$$

式中 t_{np} — 轧制负载转矩较大的任一个轧次持续的时间；

$M_{\max \cdot c}$ — 静负载转矩最大尖峰值；

$M_{\text{ave} \cdot c}$ — 静负载图的均方根转矩。

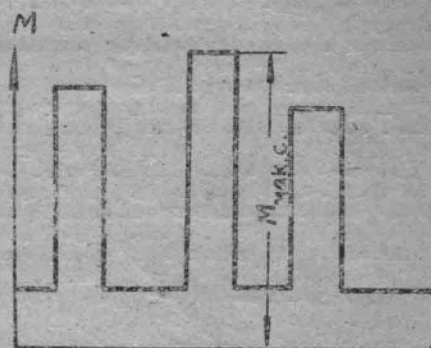


图 3-1 不可逆不调速轧机负载图

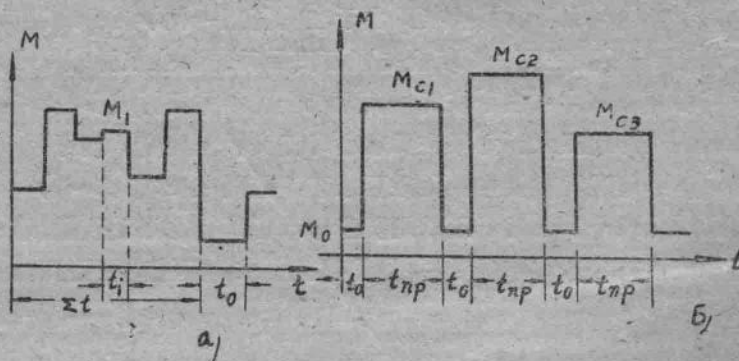


图 3-2 不可逆不调速轧机负载图

2) 第二类负载图的特点是静负载转矩的变化不剧烈(图3—2a)，或者是轧件在轧机中的轧制时间较长，而轧次之间的空载时间较短(图3—2b)。在这种情况下就无法利用飞轮的能量来减轻负载对电网电压的影响，也不能减小所需电动机的容量。这时，如果轧钢机容量比较大，则一般以采用同步电动机拖动比较合适；如果轧钢机容量比较小，则以采用不带飞轮的异步电动机拖动比较合适。

采用同步电动机拖动与异步电动机拖动比较，具有下列优点：

1) 同步电动机定子与转子间的气隙较大，故其运转可靠性较高；
2) 在容量相同时，同步电动机的效率高1.5~3%，在容量大时，每年可以节省大量电能；

3) 同步电动机可以补偿网路的无功功率，改善网路的功率因素，减小网路的损耗。低速的异步电动机功率因数低，而一般的轧钢电动机都做成低速的，这就更显示了同步电动机拖动装置的这一优点；

4) 由于同步电动机的转矩与电网电压的一次方成比例，而异步电动机的转矩与电网电压的平方成比例，故在电网电压有波动时，同步电动机工作较稳定。

采用同步电动机的缺点是，在容量小时，价格比异步电动机贵，起动比较复杂一些；并且需要直流激磁电源。同步电动机系以鼠笼式异步电动机的方式起动，在容量大时，很大的起动电流可能引起电网电压剧烈下降，甚至影响系统的稳定性，因此只有在电网容量允许条件下，才能应用同步电动机。

随着近年来电网容量的增大，同步电动机越来越多的应用于轧钢机的电力拖动装置。对于巨型初轧机的Г-Д组的原动机也开始用同步电动机代替异步电动机。但是在轧钢机容量或电网容量小时，特别是在我国各中小型轧钢厂中，仍普遍应用异步电动机拖动。

对于不可逆调速轧钢机，如第二章所述，一般有两类调节速度的要求：

1) 在轧制过程中调速。这种轧钢机电力拖动和控制的特点和可逆轧钢机相似，在下章中介绍。
2) 在轧制某种钢材时，轧制前预先调整好速度，而在轧制过程中不改变速度，但可能校正速度。这种不可逆调速轧钢机是我们在这章中所要研究的*。要求调速的原因有很多。例如对于某些合金钢材的轧机，由于在轧制某一化学成分和品种的合金钢时要求一定的轧制速度，因此在同一轧机上轧制不同品种的合金钢材时，需要有不同的速度。又如在某些型钢轧机中，由于在同一轧钢机上轧制的钢材成品的品种很多，在轧制不同品种时负载的差异也很大，如果在负载小时提高轧制速度，就可以显著提高产量。

在要求调速的不可逆轧钢机中，如果要求调速范围在1:(1.5~2)，同时在车间里的轧钢电动机台数为1~2台时，以采用异步电动机串级的拖动装置所装设的电机总容量最省；在轧钢电动机台数比较多，并且轧钢机要求的调速范围更宽时，以采用直流

* 在本章中所说的“调速”除非特别说明，都指的是在轧制前将速度调整到给定值和在轧制过程中对速度的校正。

Г-Д組系統的拖动装置比較有利。近年来，用可控汞弧整流器供电的 УРВ-Д 系統得到了广泛的应用，在不可逆調速轧鋼机中，有取代 Г-Д 系統的趋势。

对于各种不可逆轧鋼机的电力拖动方案，应根据其技术經濟指标，慎重地加以研究和选择。

3-2 軋鋼机的異步电动机帶飞輪的电力拖动装置

1. 帶飞輪的異步电动机电力拖动的基本原理

在三輥式鋼板轧鋼机、旧式的二輥薄板轧鋼机等轧制中，負載的特点是尖峯靜負載轉矩大，而持續的時間很短。

在轧鋼的每一轧次中，負載吸收的能量取决于轧制負載轉矩，电动机供給的能量取决于电磁轉矩。而电机的电磁轉矩决定于电机內部的变化規律，这个規律以电勢和磁勢平衡来表征。在冲击負載下，拖动装置的机械运动仍舊服从于能量守衡定律。如果电动机所产生的电磁轉矩比負載轉矩大，则使系統加速。这时在单位時間內，电动机产生的能量比負載吸收的部分大，而剩余的部分就儲藏在系統中而使动能增加，这表現为轉速的升高。如果电动机所产生的轉矩比負載轉矩小，则系統減速。这时在单位時間內，电动机产生的能量小于負載吸收的能量，而不足的部分就由系統原来儲藏的动能中放出来补偿，这表現为轉速的下降。这种轉速的变化反过来影响电动机电气量的变化，并且通过电动机电磁轉矩的变化而使电动机单位時間供給的能量变化。

如果电动机原始运轉于空載状态（图 3-3 中 M_0 ）。当轧鋼机冲击負載突加于电动机軸上时，由于拖动系統的慣性，拖动装置的轉速不能突变，因而电动机的电气量不能突变，于是負載轉矩瞬时大大超过电动机的电磁轉矩，根据牛頓第二定律，拖动装置將減速，电动机与負載的机械能量，差額由动能来补充，这时，系統的动态过程的进行

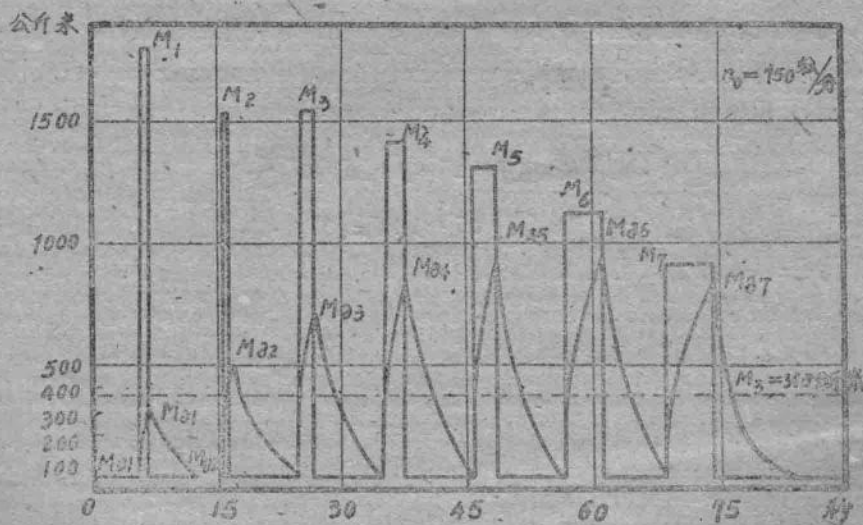


图 3-3 带飞輪拖动装置的負載圖

服从如下运动方程式

$$M = M_{c_i} + \frac{GD^2}{375} \frac{dn}{dt}, \quad (3-1)$$

式中 M_{c_i} — 第 i 轧次的负载转矩；

GD^2 — 归算于电动机轴上的拖动装置的总飞轮矩。

由于拖动装置速度的降低，异步电动机转子电势增加，转子电流和电流与气隙磁通作用下产生的电磁转矩也相应增加。在开始时，由于电动机转矩很小，因之拖动系统减速度 $\frac{dn}{dt}$ 大，拖动系统单位时间供给的动能和动态转矩也大。以后随着电动机转矩的增加，由于负载转矩不变，故拖动系统的动态转矩相应减小，减速度 $\frac{dn}{dt}$ 也相应减小。当电动机机械特性为直线时，电动机转矩和转速（或转差率）按指数曲线变化

$$M = M_{c_i} \left(1 - e^{-\frac{t}{B}}\right) + M_{o_i} e^{-\frac{t}{B}}, \quad (3-2)$$

$$S = S_{c_i} \left(1 - e^{-\frac{t}{B}}\right) + S_{o_i} e^{-\frac{t}{B}}, \quad (3-3)$$

式中 $B = \frac{GD^2 n_o S'_{n_h}}{375 M_{n_h}}$ — 拖动装置电气机械时间常数；

S'_{n_h} — 拖动装置额定转差率；

n_o — 拖动装置的同步转速；

M_{o_i} — 第 i 轧次开始时的电动机转矩；

S_{c_i}, S_{o_i} — 相应于电动机转矩等于 M_{c_i} 和 M_{o_i} 时的转差率。

当轧钢冲击负载突然消失时，同样，由于拖动系统的惯性，拖动装置的转速不能突变，因而电动机的电气量不能突变，于是电动机转矩大于负载转矩，电动机除克服负载转矩外，还供给拖动系统动态转矩，使拖动装置加速。在开始时，由于电动机转矩与负载转矩的差值大，因而拖动装置的加速度大；随着拖动装置速度的增加，电动机转子电势减小，转子电流和电磁转矩也减小，电动机转矩和负载转矩的差值减小，供给拖动系统的动态转矩和系统的加速度相应减小。当电动机机械特性为直线时，电动机转矩和转速（或转差率）也按指数曲线变化。

$$M = M_{o_i} \left(1 - e^{-\frac{t}{B}}\right) + M_{k_1} e^{-\frac{t}{B}}, \quad (3-4)$$

$$S = S_{o_i} \left(1 - e^{-\frac{t}{B}}\right) + S_{k_1} e^{-\frac{t}{B}}, \quad (3-5)$$

式中， M_{k_1}, S_{k_1} — 冲击负载消失的瞬间电动机转矩和相应的转差率。

由上述工作原理可以看出：在具有尖峰负载的轧钢机中，如果轧次时间短而轧次之间间隔时间较长，则采用带飞轮的拖动装置可以在尖峰负载时暂时利用拖动系统供给负载一部分动能，因而减小电动机所承受的尖峰转矩和电动机由电网吸取的尖峰功率，而在两个轧次之间，利用负载较小的这一段间隔时间，再将功能重新储存于拖动系统。

在轧制中，电动机所达到的最大转矩与拖动系统放出能量的特征及电动机本身电气量的变化规律有关。当系统飞轮矩 GD^2 一定时，电动机机械特性较硬，则拖动系统有不大的转速降落就能引起电动机电量较大的变化，而电动机转矩变化也较大。但是拖

动系統所供給出來的動能却不多，於是動能不能充分利用，電動機將達到較大峯值轉矩。電動機機械特性較軟，在拖動系統轉速降落相同時，所引起電動機電氣量的變化較小，電動機轉矩變化也較小，故拖動系統單位時間所供給的動能則較多，而電動機將達到較小峯值轉矩。但當電動機機械特性較軟時，即使不大的衝擊負載也將引起拖動裝置較大的速度降落，這將降低軋制的生產率。

利用可控的電動機機械特性在達到電動機最大允許轉矩之前，保持較硬的機械特性，以保證提高生產率而當達到之後，則自動地過渡到軟化的人工特性，從而充分利用拖動系統儲存的動能。

2. 軋鋼電動機容量和飛輪的飛輪矩的選擇

在已知軋制的靜負載圖，要求計算帶飛輪的電力拖動裝置的電動機容量時，首先要選電動機和飛輪，根據選出的數據，作出電動機的負載圖。然後才能對選出的電動機作發熱和過載的校驗。

然而，由圖3—3可以看出，電動機的容量和飛輪矩是互相依賴的。在飛輪矩大時，由於機電時間常數的增加，則所需的電動機容量可以小一些。採用各種不同的飛輪矩和電動機容量的配合，都能滿足拖動裝置的要求。在各種具體情況中，應作詳細的技術經濟比較。一般可以根據如下步驟進行計算：

1) 選出電動機容量。電動機的功率可以根據下式選出：

$$P_n = (1.2 \sim 1.3) P_{cp.e}, \quad (3-6)$$

式中， $P_{cp.e}$ —靜負載圖的平均功率；

$P_{cp.e} = \frac{\Sigma Pt}{T_n}$ —其中 ΣPt 為靜負載功率圖形的面積， T_n 為周期時間。如果已知

軋鋼機的生產率 (C_{tn} 吨/小時) 和軋制時的總能量消耗 (W ，
瓩瓦小時/噸)，則 $P_{cp.e} = WG_n$ 瓩瓦。

也可以用如下方法選出電動機容量：

$$P_n \approx \sqrt{P_{kb.c} \times P_{cp.e}} \quad (3-7)$$

或

$$P_n \approx \sqrt[3]{P_{kb.c} \times P_{cp.e}^2} \quad (3-8)$$

式中， $P_{kb.c}$ —靜負載功率的均方根值。

2) 選出飛輪的飛輪矩。選出飛輪有兩種方法：

(i) 根據經驗數據。對於各種帶飛輪的拖動裝置的軋鋼機，在拖動裝置最大轉速時飛輪儲存的能量 A_a 和電動機的額定功率 P_n 之間存在下列近似比值 $\frac{A_a}{P_n}$ ：

型鋼和鋼板軋鋼機 $20 \sim 30$

帶轉差率調節器的上述軋鋼機 $15 \sim 25$

二輥式薄板軋鋼機 $10 \sim 20$

變流機組的原動機 $30 \sim 40$

故可選出的電動機容量 P_n ，近似地決定飛輪在拖動裝置最大轉速時所需儲存的動能 A_a 。由於

$$A_a = \frac{GD_m^2 n_0^2}{729} \text{ 千瓦·秒}, \quad (3-9)$$

则可由拖动装置的最大转速，根据式(3-9)求出所需的 GD_m^2 ，其中， GD_m^2 为飞轮的飞轮矩，以吨·米²表示。

(ii) 根据电动机的允许的过载能力在予选电动机额定容量以后，也可以根据轧钢机在最严重的轧次中电动机所允许达到的过载来予选飞轮的飞轮矩。即我们可以选择一个飞轮矩，使在最严重的轧次中电动机承受的最大转矩仍不超过其过载允许值。最严重的轧次一般是发生在静负载转矩最大、或者是静负载转矩虽不是最大但其轧制时间较长的轧次中。如在此轧次中轧制时间为 t_{ap} ，则在 $t=t_{ap}$ 时，电动机转矩将增长到其过载允许值 λM_n ，根据式(3-2)可得：

$$\lambda M = M_{\max \cdot c} (1 - e^{-\frac{t_{ap}}{n}}) + M_{\max} e^{-\frac{t_{ap}}{n}}, \quad (3-10)$$

式中 $M_{\max \cdot c}$ —— 最严重轧次的静转矩；

M_{\max} —— 最严重轧次中轧制开始时电动机的转矩。

由式(3-10)，得

$$B = \frac{t_{ap}}{\ln \frac{M_{\max \cdot c} - M_{\max}}{M_{\max \cdot c} - \lambda M_n}}$$

$$\text{或 } GD^2 = \frac{375 t_{ap} M_n}{n_0 S'_{n_0}} \frac{1}{\ln \frac{M_{\max \cdot c} - M_{\max}}{M_{\max \cdot c} - \lambda M_n}}, \quad (3-11)$$

考虑到 $(M_{\max \cdot c} - M_{\max}) \approx (M_{\max \cdot c} - M_0)$ ，故可得

$$GD^2 \approx \frac{375 t_{ap} M_n}{n_0 S'_{n_0}} \frac{1}{\ln \frac{M_{\max \cdot c} - M_0}{M_{\max \cdot c} - \lambda M_n}}. \quad (3-12)$$

由式(3-12)可以看出，在最严重轧次中，比值

$$\frac{t_{ap}}{\ln \frac{M_{\max \cdot c} - M_0}{M_{\max \cdot c} - \lambda M_n}}$$

最大。在难于立即确定哪一个轧次是最严重的轧次时，可以先粗略计算比较哪一个轧次的上述比值最大，然后根据此轧次予选所需的飞轮矩。

根据式(3-12)求出拖动装置总的飞轮矩以后，减去电动机的飞轮矩，就可以求得所需飞轮的飞轮矩。

3) 电动机发热校验。拖动装置的电动机容量和飞轮的飞轮矩予选得是否合适，需要对电机进行发热和过载的校验加以验证。在校验时，须绘制电动机的负载图 $M=f(t)$ ，然后将此电动机负载曲线分成很多直线段。在每一段时间内视转矩不变、或沿直线变化，用等效转矩的计算公式计算一个周期中电动机的等效转矩 M_{KB} 。如果满足 $M_{KB} \leq M_n$ ，并且电动机所承受最大转矩 $M_{H\max} \leq M_n$ ，则所选电动机容量及飞轮的飞轮矩能满足拖动装置的要求。如果计算所得 M_{KB} 与 M_n 相差甚多，或 $M_{H\max} > \lambda M_n$ ，则需重

新予选电动机容量和飞輪的飞輪矩，重新进行校驗。

但用这种方法校驗电动机的发热，非常繁复，为简化計算可以根据所制作的电动机負載图，用分析法計算电动机的等效轉矩。

由运动方程式

$$M - M_c = - \frac{GD^2}{375} n_0 \frac{ds}{dt}, \quad (3-13)$$

对于轧鋼机負載图的任一个轧次，我們有

$$M^2 dt = M_c^2 dt - 2 \frac{GD^2}{375} n_0 M_c ds + \left(\frac{GD^2}{375} n_0 \right)^2 \frac{ds}{dt} ds.$$

再將式(3-13)代入，得

$$M^2 dt = M_c^2 dt - \frac{GD^2}{375} n_0 (M_c + M) ds.$$

对于一个周期积分，我們有

$$M_{KB}^2 T = M_{KB \cdot c}^2 T - \sum_{i=1}^{i=n} \frac{GD^2}{375} n_0 \int (M_{c,i} + M) ds.$$

在一个周期的末了，仍旧应当回到起始时在电动机机械特性的工作点上，于是有：

$$\sum \frac{GD^2}{375} n_0 \int M ds = 0$$

故得 $M_{KB}^2 = M_{KB \cdot c}^2 - \frac{1}{T} \sum_{i=1}^{i=n} \frac{GD^2}{375} n_0 \int M_{c,i} ds.$

考慮电动机机械特性为直線，由 $\frac{M}{M_B} = \frac{s}{s_B}$ 。我們有 $ds = \frac{s_B}{M_B} dM$ 代入上式，得

$$M_{KB}^2 = M_{KB \cdot c}^2 - \frac{1}{T} \sum_{i=1}^{i=n} \frac{GD^2}{375} n_0 \frac{s_B}{M_B} \int M_{c,i} dM.$$

于是对于任意阶梯形靜負載图，我們代入各阶梯時間內电动机轉矩的变化，得：

$$M_{KB} = \sqrt{M_{KB \cdot c}^2 - \frac{B}{T} \sum_{i=1}^{i=n} M_{c,i} (M_{x,i} - M_{o,i})} \quad (3-14)$$

式中 $M_{x,i}$ —第 i 段終了时电机的轉矩；

$M_{o,i}$ —第 i 段开始时电动机的轉矩。

对于如圖 4-1 所示，負載与空載相間的每个循环有 n 个轧次的靜負載图，如果取一个轧次（包括一个負載和一个空載）作为一段，则对于第一轧次，我們有

$$\begin{aligned} \int M_{c,1} dM &= M_{c,1} (M_{x,1} - M_{o,1}) + M_o (M_{o,2} - M_{x,1}) \\ &= M_{c,1} M_{x,1} - M_{c,1} M_{o,1} + M_o M_{o,2} - M_o M_{x,1}. \end{aligned}$$

对于第 i 轧次，

$$\int M_{c,i} dM = M_{c,i} M_{x,i} - M_{c,i} M_{o,i} + M_o M_{o,(i+1)} - M_o M_{x,i}.$$

对于第 n 轧次，考虑到 $M_{o(n+1)} = M_{o1}$ ，我們有

$$\int M_{c1} dM = M_{cn} M_{\pi n} - M_{cn} M_{on} + M_o M_{o1} - M_o M_{\pi 1}.$$

各积分式相加，可得

$$M_{KB} = \sqrt{M_{KB \cdot c}^2 - \frac{B}{T} \sum_{i=1}^{i=n} (M_{ci} - M_o)(M_{\pi i} - M_{o1})} \quad (3-15)$$

当电动机负载图已經繪出以后，將各段负载图中电动机的初始轉矩和終了轉矩代入式(3-14)或(3-15)即可得出电动机的等效轉矩。

[例] 520 厘米三輶式軋鋼机的靜负载图示于图 3-3。它由 7 个轧次組成一个周期，电动机的负载图和靜负载图的数据列于表 3-1 中。

表 3-1

轧 次	M_{c1} 公斤·米	M_o 公斤·米	$M_{\pi 1}$ 公斤·米	M_{o1} 公斤·米	t_1 秒	t_{o1} 秒
1	1800	50	340	50	0.6	8.4
2	1560	50	550	50	0.9	9.0
3	1560	50	760	50	1.2	8.7
4	1420	50	850	50	2.1	8.4
5	1310	50	970	70	3	8.1
6	1150	50	980	70	4.2	7.8
7	930	50	850	80	6	21.6
					18	72

周期时间为 $T = 18 + 72 = 90$ 秒，按式(3-11)

$$s = \left\{ \begin{array}{l} 1800^2 \times 0.6 + 50^2 \times 72 + \\ + 1560^2 \times 0.9 \\ + 1560^2 \times 1.2 \\ + 1420^2 \times 2.1 \\ + 1310^2 \times 3.0 \\ + 1150^2 \times 4.2 \\ + 930^2 \times 6.0 \end{array} \right\} - \frac{1}{0.427} \times \left\{ \begin{array}{l} (1800-50)(340-50) \\ (1560-50)(550-50) \\ (1560-50)(760-50) \\ (1420-50)(850-50) \\ (1310-50)(970-70) \\ (1150-50)(980-70) \\ (930-50)(850-80) \end{array} \right\}$$

$$= 27370000 - \frac{1}{0.427} \times 6266500 = 12690000$$

$$M_{KB} = \sqrt{\frac{12690000}{90}} = 375 \text{ 公斤/米。}$$

3. 充分利用电动机的容量时电动机的額定功率和拖动装置机电时间常数的选择。

按照上述方法予选电动机容量和拖动系统的电气机械时间常数，制作电动机的负载图，然后进行发热核算，非常复杂，尤其是当选择几种电动机容量和飞轮的飞轮矩的不同配合作方案比较时，更是需要经过复杂的计算，在这种情况下，能找到电动机的等效转矩 M_{KB} 和电气机械时间常数 B 之间的关系式 $M_{KB} = f(B)$ ，则将使计算大为简化。

在轧钢机静负载图一定时， B 的大小对于电动机的等效转矩是有影响的，在电动机机械特性为直线时， M_{KB} 和 B 的准确关系由式(3-14)或(3-15)所表述，但式(3-14)或(3-15)不能直接表述 M_{KB} 和 B 的关系。

研究飞轮拖动装置的特点，我们注意到，当 $B=0$ 时， $M_{KB}=M_{KB.c}$ ，而当 $B=\infty$ 时， $M_{KB}=M_{cp.c}$ ，故可知 M_{KB} 和 B 的关系近似地可以用一个指数曲线束表示：

$$M_{KB} = M_{cp.c} + (M_{KB.c} - M_{cp.c})e^{-cB} \quad (3-16)$$

式中 C —— 与轧钢机静负载图有关的系数，它决定指数曲线衰减的快慢。系数 C 可以由式(3-14)或(3-15)求出。

在 B 值很小，趋近于零时，即在 $M_{KB}=f(B)$ 曲线的开始部分，由式(3-14)或(3-15)，曲线可近似地用下式表示：

$$M_{KB}^2 \approx M_{KB.c}^2 - \frac{B}{T} \sum M_{ci} (M_{ci} - M_{ci-1}) \quad (3-17)$$

$$\text{或 } M_{KB}^2 \approx M_{KB.c}^2 - \frac{B}{T} \sum (M_{ci-1} - M_o)^2. \quad (3-18)$$

式(3-16)和式(3-17)或(3-18)所表示的曲线在 $B=0$ 这一点应有共同的切线，并且这时 $M_{KB}=M_{KB.c}$ 。由这个关系，我们求式(3-16)的微分，并令 $B=0$ ，得

$$\begin{aligned} \frac{dM_{KB}}{dB} &= -C(M_{KB.c} - M_{cp.c})e^{-cB}, \\ \left(\frac{dM_{KB}}{dB}\right)_{B=0} &= -C(M_{KB.c} - M_{cp.c}). \end{aligned} \quad (3-19)$$

另一方面，由式(3-17)或(3-18)也可以得到这个切线，由

$$\begin{aligned} \frac{dM_{KB}}{dB} &= -\frac{1}{2T} \frac{\sum M_{ci} (M_{ci} - M_{ci-1})}{M_{KB}} \\ \text{或 } \frac{dM_{KB}}{dB} &= -\frac{1}{2T} \frac{\sum (M_{ci-1} - M_o)^2}{M_{KB}} \end{aligned}$$

$$\text{得 } \left(\frac{dM_{KB}}{dB}\right)_{B=0} = -\frac{1}{2T} \frac{\sum M_{ci} (M_{ci} - M_{ci-1})}{M_{KB.c}} \quad (3-20)$$

$$\text{或 } \left(\frac{dM_{KB}}{dB}\right)_{B=0} = -\frac{1}{2T} \frac{\sum (M_{ci} - M_o)^2}{M_{KB.c}}. \quad (3-21)$$

令式(3-19)和式(3-20)或式(3-21)相等，则可求出

$$C = \frac{1}{2T} \frac{\sum M_{ci} (M_{ci} - M_{ci-1})}{M_{KB.c} (M_{KB.c} - M_{cp.c})} \quad (3-22)$$

或 $C = \frac{1}{2T} = \frac{\Sigma(M_{c,i} - M_o)^2}{M_{KB,c}(M_{KB,c} - M_{cp,c})}$ 。 (3-23)

对于具体的静负载图，可以根据其数据计算 $M_{KB,c} \cdot M_{cp,c}$ 和系数 C，由之可以制作 $M_{KB}=f(B)$ 曲线如图 3-5 所示，在图 3-5 中也绘出准确计算所得 $M_{KB}=f(B)$ 的曲线，可以看出；由上述方法所决定的 $M_{KB}=f(B)$ 曲线一般与实际曲线是接近的。

根据 $M_{KB}=f(B)$ 曲线，可以决定使电动机发热充分利用时拖动装置的主要参数。例

如我们已经给定电动机的额定转矩 M_B ，则令 $M_B = M_{KB}$ ，可以由图 3-5 的 $M_{KB}=f(B)$ 曲线，求出所需拖动装置的电气机械时间常数 B。如果拖动装置的参数 $S'_B GD^2$ 已经给定；

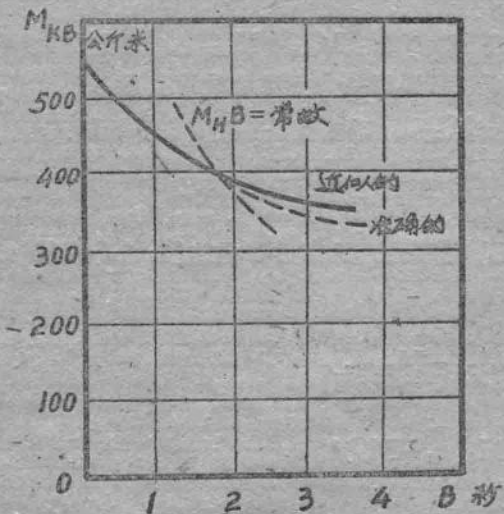


图 3-4 $M_{KB}=f(B)$ 的曲线

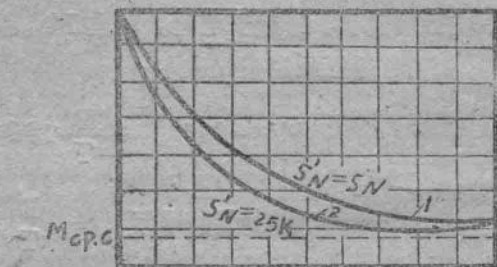


图 3-5 不同转差率 S'_B 时的 $M_{KB}=f(GD^2)$

则可以根据一个假设的 B，由 $B = \frac{GD^2}{375} \times \frac{n_0 S'_B}{M_B}$ 求出 M_B ，如果求出的 M_B 与由图 3-4 曲线 $M_{KB}=f(B)$ 查出的 M_{KB} 相等，则表示所选择的参数能使电动机发热充分利用，否则，应重新假设 B 值，重新计算；为了避免重复计算，在 $S'_B GD^2$ 给定时，使电动机按发热充分利用的拖动装置主要参数可如下求出：根据 $q = S'_B GD^2 = \text{常数}$ ，制作曲线。

$$M_B B = \frac{GD^2}{375} n_0 S'_B = \text{常数}。 \quad (3-24)$$

示于图 3-5，此曲线与 $M_{KB}=f(B)$ 曲线的交点，决定出电动机按发热充分利用时的 M_B 和 B。

4. 电动机额定转差率 S'_B 的选择。在电动机的额定转矩和拖动装置的电气机械时间 B 决定以后，可以选用不同的 GD^2 和 S'_B 的配合，都能满足拖动装置对电气机械时间常数 B 的要求，如果增大 S'_B ，则可以减小 GD^2 ，在异步电动机中，可以在转子回路中串入恒定的电阻以增大 S'_B 。利用曲线 $M_{KB}=f(B)$ ，可以容易的决定在不同的 S'_B 时， M_{KB} 和 GD^2 之间的关系，如图 3-5 的曲线所示；由图 3-5 可以看出，若电动机额定转矩给定 $M_B = M_{KB}$ ，则在 GD^2 比较小时， S'_B 的变化对于 GD^2 的影响较小，而在 GD^2 比较大时， S'_B 的数值的选择对于 GD^2 的数值有很大的影响。

拖动装置的 GD^2 选得过大，则将使飞轮的投资很大；如果电动机的 S'_B 选得过大，

則將使电动机的轉子損耗大为增加，并且由于軋制时速度的过分降低而使生产率大大降低，使軋制时间延长，由于軋件的軋制温度降低，增加了軋制时的能量消耗。

正确的选择电动机的 S'_n 和拖动装置的 GD^2 具有很大的經濟意义。选择 S'_n ，可以根据两种观点出发，一种是使拖动装置年維护費用最小，另一种是使拖动装置能量損耗最小。下面我們將介紹根据拖动装置年維护費用最小的观点选择电动机的 S'_n 和拖动装置 GD^2 的方法。

帶飞輪的电力拖动装置的年維护費用可以表示为：

$$F = F_1 + F_2 + F_3, \quad (3-25)$$

式中 F —年維护費用；

F_1 —年飞輪維护費用，包括飞輪的潤滑，修理等費用，一般，

$$F_1 = Grk; \quad (3-26)$$

G —飞輪重量；

r —飞輪单位重量的成本，与飞輪材料有关，一般，对于鑄鋼飞輪 $r=2000$ 元/吨，对于鑄鐵飞輪 $r=700$ 元/吨；

k —飞輪年維护費用的系数，以飞輪成本的百分数表示，一般取 $K=0.1$ ；

F_2 —飞輪每年消耗电能的費用，如假设飞輪的損耗与其重量成比例，则

$$F_2 = Gmhq; \quad (3-27)$$

m —飞輪損耗的系数，以仟瓦/吨表示，对于低速鑄鐵飞輪，一般 $m=0.5 \sim 1$ 仟瓦/吨；对于高速的鋼制飞輪， $m=2 \sim 2.5$ 仟瓦/吨；

h —每年运转小时数；

q —单位电能的費用，以元/仟瓦·小时表示；

F_3 —电动机轉子回路电能損耗的費用；如以 P_2 表示轉子回路平均損耗功率，则

$$F_3 = p_2 h q. \quad (3-28)$$

$$\text{由于 } P_2 = \frac{Q}{T} = \frac{\int_0^T p_2 dt}{T},$$

式中 P_2 —異步电动机的电磁功率

$$p_2 = \frac{n_0}{975 T} \int_0^T M s dt.$$

假设电动机机械特性为直線，则

$$p_2 = \frac{n_0 S'_n}{975 T} \int_0^T \frac{M^2}{M_B} dt = \frac{n_0 S'_n}{975 M_B} M_B^2, \quad (3-29)$$

如果按发热充分利用选择电动机容量，则由于 $M_B = M_{KB}$ ，故

$$p_2 = \frac{n_0 S'_n}{975 M_B} M_B^2 = P_B S'_n. \quad (3-30)$$

由式(3-25)、(3-26)、(3-27)、(3-28)和(3-30)得

$$F = G(rk + mhq) + P_B S'_n h q = f(G, S'_n). \quad (3-25a)$$

因此，年維护費用为 S'_n 和 G 的函数， S'_n 和 G 是互相依賴的，其关系由已經选择的电

气机械时间常数和电动机额定转矩决定：

$$B = \frac{GD^2}{375} \cdot \frac{n_0 S'_n}{M_n}.$$

由于拖动装置储藏的动能为：

$$A_a = \frac{GD^2 n_0^2}{729000} \text{ 仟瓦·秒},$$

取

$$M_n = 975 \frac{P_n}{n_0(1-S'_n)} \approx 1000 \frac{P'_n}{n_0},$$

于是有

$$B = \frac{2A_a S'_n}{P_n} = \frac{2Gw S'_n}{P_n}, \quad (3-31)$$

式中 w — 飞轮单位数量储藏的动能，对于每种材料的飞轮有一个极限值，它是一个常数；对于铸铁， $w=380 \sim 480$ 仟瓦·秒/吨，对于铸钢， $w=2570 \sim 3200$ 仟瓦·秒/吨。由式(3-31)

$$G = \frac{P_n B}{2w} \cdot \frac{1}{S'_n} = \frac{C}{S'_n}, \quad (3-31a)$$

代入式(3-25a)，得

$$F = C \left(\frac{rk}{S'_n} + \frac{mhq}{S'_n} \right) + S'_n P_n h q. \quad (3-256)$$

由式(3-256)微分，并令其等于零，可求得年维护费用最小时的 S'_n 值 $(S'_n)_{\min}$ ：

$$(S'_n)_{\min} = \sqrt{\frac{1}{2w} \sqrt{\left(\frac{rk}{hq} + m \right) \sqrt{B}}}. \quad (3-32)$$

将式(3-32)代入(3-31a)，得年维护费用最小时的 G 值 $(G)_{\min}$ ：

$$(G)_{\min} = \frac{P_n \sqrt{B}}{\sqrt{\frac{1}{2w} \sqrt{\frac{rk}{hq} + m}}}. \quad (3-33)$$

根据式(3-32)和(3-33)决定的电动机 S'_n 和飞轮的 G 可以使拖动装置年维护费用最小，但在推导式(3-32)和(3-33)时，没有考虑上述参数对工艺等其他方面的影响，因此选择以及还需要校核所选 S'_n 和 G 是否过大， S'_n 的数值可由允许速度降校核，如果

$$S_n = (\lambda + \sqrt{\lambda^2 - 1})(S'_n)_{\min} > S_{n_{\max}},$$

式中 $S_{n_{\max}}$ — 允许极限转差率。则所选 S'_n 在技术上将认为是不合理的。在所选 $(S'_n)_{\min}$ 和 $(G)_{\min}$ 过大时，则应考虑应用转差率调节器的拖动装置。

3-3 轧钢机的异步电动机带转差率调节器的电力拖动装置

采用带飞轮的电力拖动装置是依靠飞轮放出一部分所储存的动能，帮助电动机克服尖峰负载。此放出的动能为 $\Delta A = \frac{GD^2(n_0^2 - n^2)}{729000}$ 仟瓦·秒。在轧制中速度降 $n_0 - n$ 越大，则放出的动能越多。在采用硬的电动机机械特性，即 S'_n 很小时（如图 3-6 中的机械特性 a），要求放出一定的动能，必须有很大的飞轮矩。在绕线式异步电动机转子回

路中加入恒定电阻，增加其 S'_{B} ，使机械特性变软时，较小的飞轮矩就可以在轧制中放出要求的电能。但是在软的电动机机械特性上运转时（如图 3—6 的机械特性 b），即使轧钢机负载转矩比较小，拖动装置的速度也会降低很多，因而使生产率降低，电动机损耗增加，电动机的能力也不能充分利用。比较理想的电动机机械特性（如图 3—6 中的机械特性 a）是当电动机转矩在允许过载范围内时，电动机运转于较硬的机械特性上，不依靠飞轮动能的帮助，而在电动机转矩达到过载允许转矩时，拖动装置的速度才开始急速下降，使飞轮放出足够的能量帮助电动机克服静负载转矩。图 3—6 中所示的机械特性 b 和 a，具有相同的电动机速度降，因而飞轮放出的动能相同，但具有机械特性 a 的拖动装置给出较高的生产率，损耗也比较小。

利用转差率调节器控制异步电动机转子回路的电阻，可以近似地得到上述理想的人工机械特性。有两种型式转差率调节器：一种是接触器式转差率调节器，另一种是液体转差率调节器。今就液体转差率调节器来分析其拖动原理。

液体转差率调节器拖动装置示意于图 3—7 中。图中 6 为液体电阻槽。槽中装有 1

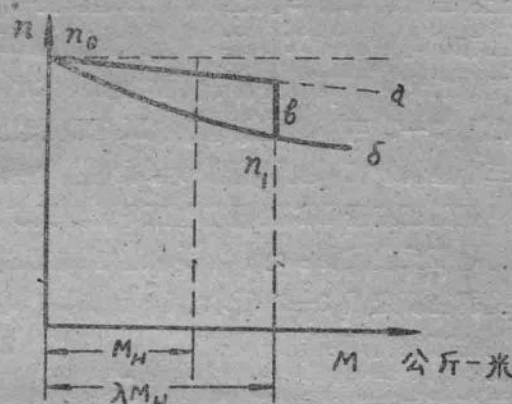


图 3—6 带飞轮的异步电动机机械特性

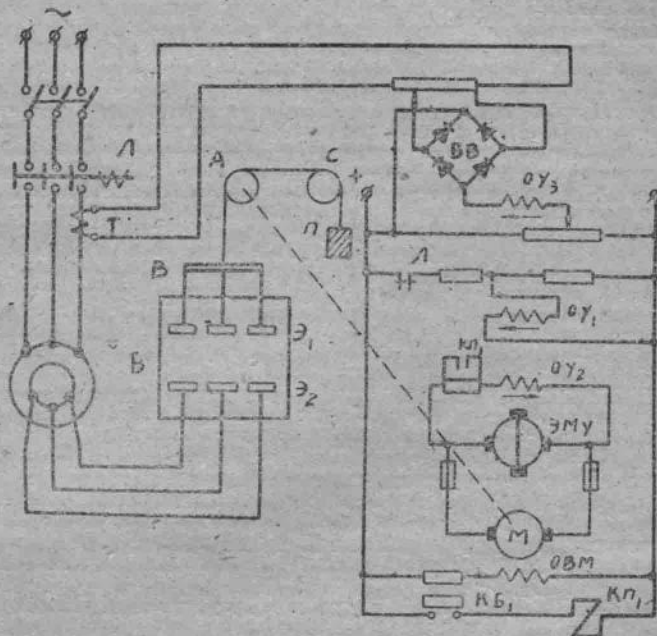


图 3—7 液体转差率调节器拖动装置示意图

~2%碳酸鈉水溶液，槽的下部有三个靜電極 Θ_2 ，靜電極連接于軋鋼異步電動機的轉子滑環上。三個動電極 Θ_1 用金屬板B連接在一起，構成轉子回路的中點。金屬板B經過滑輪A和C與平衡錘II相連，由控制電動機M控制動電極 Θ_1 上下移動。這樣就改變了電極間的距離，因而改變轉子附加電阻的大小。

由圖3—7可看出控制電動機M是採用直流電動機，並由交磁放大機來供電。放大機有三個控制繞組，控制繞組 oy_2 由軋鋼電動機定子電流互感器次級繞組經正流器BB供電，顯然正流器BB的輸出電壓與軋鋼異步電動機的定子電流成比例。 oy_2 繞組為放大機的電壓反饋繞組。 oy_1 為手動控制的控制繞組。

我們在研究圖3—7所示控制系統的調節過程時，為簡單起見，我們忽略動電極提升機構的摩擦轉矩。

當軋鋼電動機起動後，油開關J已合閘，其輔助常閉觸頭J開斷，因而 oy_1 繞組不起作用。

當空載時，由於軋鋼電動機空載電流小，因而正流器BB輸出電壓小於比較電壓 u_{cp} ，故 oy_2 繞組中無電流，控制電動機M不產生轉矩，動電極在最下部位置。

當軋制加入衝擊負載時，則軋鋼電動機減速，電動機轉矩沿機械特性HA增加（圖3—8 b）。隨軋鋼電動機轉矩的增加，正流器BB輸出電壓也相應增加。當軋鋼電動機轉矩增加到正定值 M_y 時（圖3—8中A點），繞組 oy_2 中流過電流，放大機產生電勢，使控制電動機建立起動轉矩，其大小：

$$M_{y\pi} = M_s - M_n \quad (3-34)$$

式中： M_s —動電極重力矩

M_n —平衡錘重力矩

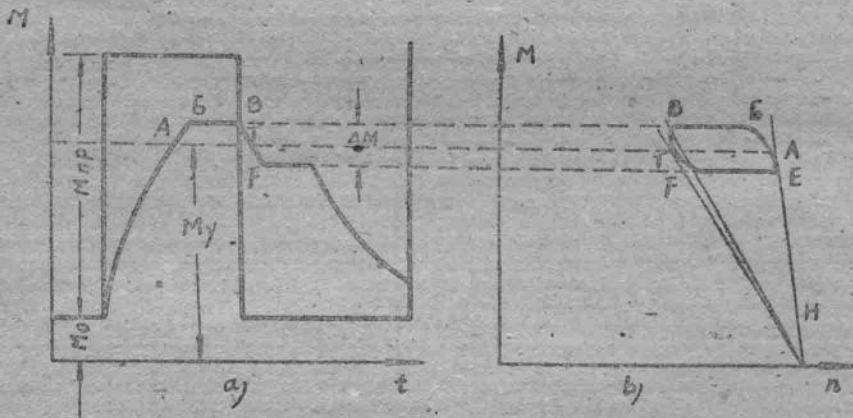


圖3—8 考慮調節差額帶液體轉差率調節器的異步電動機機械特性和負載圖

於是控制電動機開始提升動電極，使軋鋼電動機轉子電阻增加。理想是電動機轉矩達到A點（圖3—8）後保持不變，這樣既充分利用電機又有利利用飛輪。

怎樣才能使電動機轉矩達到A點（圖3—8）後保持一定呢？由運動方程式可知：

$$M_n = M_s + \frac{GD^2}{375} \cdot \frac{dn}{dt} \quad (3-35)$$

式中 M_a — 軋鋼電動機所產生的轉矩，

M_c — 電動機負載靜轉矩，

GD^2 — 拖動系統總飛輪矩（歸算到電動機軸）。

由式(3-35)可看出，當電動機轉矩 $M_a = M_y$ 時， M_c 是不變的，若使 $M_a = \text{const}$ ，則系統的動態轉矩 $\frac{GD^2}{375} \cdot \frac{dn}{dt}$ 必須是不變的，即 $\frac{dn}{dt}$ 应是恆定的。為此我們可求解上運動方程式。

首先我們將 $\frac{dn}{dt} = -n_0 \frac{dS}{dt}$ 代入式(3-35)中，於是

$$M_a = M_c - \frac{GD^2}{375} \cdot n_0 \cdot \frac{dS}{dt} \quad (3-36)$$

將 $M_a = M_y$ 代入式(3-36)中，並積分後得：

$$S = \int_0^t \frac{M_c - M_y}{\frac{GD^2}{375} \cdot n_0} \cdot dt = \frac{M_c - M_y}{\frac{GD^2}{375} \cdot n_0} \cdot t + S_0 \quad (3-37)$$

式中 S_0 — 調節器開始工作時軋鋼電動機的轉差率。

由上式看出要使 $M_a = M_y = \text{常數}$ ，必須使轉差率 S 隨時間按直線規律變化。另外我們知道，軋鋼電動機轉矩的變化決定於電機內部電氣量變化的規律，當異步電動機運轉於機械特性的穩定區域時，電動機轉矩，轉差率和轉子電阻間的關係，近似的可以表示為：

$$M_a = C \frac{S}{R'_p} \quad (3-38)$$

式中 C — 與軋鋼電動機有關的常數。

由式(3-36)和(3-38)可知，當拖動裝置承受衝擊負載時，一方面表現為轉速的下降，這個速度的變率決定於 M_a 和 M_c 的差值；另一方面由於轉速的變化必引起電動機電氣量的變化，並表現為電動機轉矩的變化。如果在轉速變化時，以相應的變化率改變轉子電阻，則電動機轉矩就能保持恆定。

由式(3-38)對時間 t 微分，可求得：

$$\frac{dS}{dt} = \frac{R'_p}{C} \cdot \frac{dM_a}{dt} + \frac{M_a}{C} \cdot \frac{dR'_p}{dt} \quad (3-38a)$$

代入式(3-36)，得

$$\frac{GD^2}{375} n_0 \frac{R'_p}{C} \cdot \frac{dM_a}{dt} + \frac{GD^2}{375} n_0 \frac{M_a}{C} \cdot \frac{dR'_p}{dt} + M_a = M_c \quad (3-38b)$$

如果要使在轉差率調節器工作時，軋鋼電動機轉矩保持恆定，即 $M_a = M_y = \text{常數}$ ，則軋鋼電動機轉子電阻應有的變化規律，可由下式求出：

$$\frac{GD^2}{375} n_0 \frac{M_y}{C} \cdot \frac{dR'_p}{dt} + M_y = M_c \quad$$

積分後，得到軋鋼電動機轉子電阻應有的變化規律為：

$$R'_p = R'_{p_0} + \frac{375C}{GD^2 n_0 M_y} (M_c - M_y) t, \quad (3-39)$$

式中 R'_{p_0} —— 转差率调节器动电极在最下位置时，轧钢电动机的转子电阻（折算于定子的数值）。

由分析式(3-39)可以看出：1) 在转差率调节器工作时，若轧钢电动机转矩保持恒定，则其转子电阻与时间成直线变化；2) 在静负载转矩 M_c 为定值时，轧钢电动机转矩整定值越大，则其转子电阻随时间的变化越慢（如图 3-9 所示），3) 在 M_y 为定值时，静负载转矩越大，则轧钢电动机转子电阻随时间的变化越快，在轧钢机各轧次的静负载转矩不同时， R'_p 的变化速度也不同。从拖动装置运动的物理过程也很容易说明上述结论。在静负载转矩 M_c 为定值时，电动机转矩的整定值 M_y 越大，则在转差率调节器工作时，单位时间内电动机由电网吸收的能量越大。因之，飞轮单位时间放出的能量越小，故要求 R'_p 的变化越慢。在电动机转矩整定值为定值时，静负载转矩 M_c 越大，则在转差率调节器工作时，要求飞轮单位时间放出的能量就越大，故 R'_p 的变化应越快。

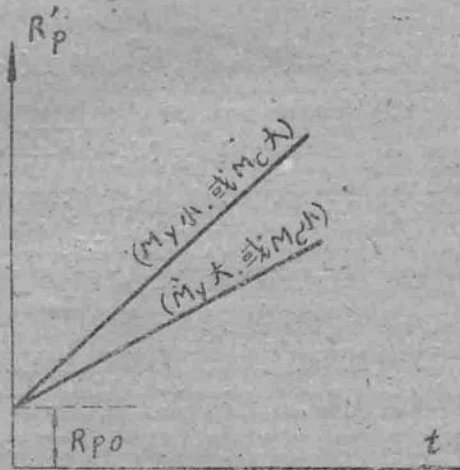


图 3-9 R'_p 的变化曲线

在液体转差率调节器中，电极间的电阻与其间的距离近似地成比例。如以 L 表示在任一瞬问电极间的距离， a 为电极间距离与电阻的比例系数，则有：

$$R'_p = R'_{p_0} + aL \quad (3-40)$$

比较式(3-39)和(3-40)，可以得到在转差率调节器工作时，要保持电动机转矩为恒值所要求的电极间距离的变化规律为：

$$L = \frac{375C}{GD^2 a n_0 M_y} (M_c - M_y) t. \quad (3-41)$$

实际上，电极间距离的改变是藉控制电动机的转动实现的，如控制电动机的转速以 $n_{y\pi}$ 表示，则

$$L = m \int_0^t n_{y\pi} dt \quad (3-42)$$

式中 m —— 比例系数。比较式(3-41)和(3-42)可以看出，在 M_c 和 M_y 为定值时，要使 L 与时间成直线变化，必须使 $n_{y\pi}$ 为常数，且其值为

$$n_{y\pi} = \frac{375C}{GD^2 a m M_y} (M_c - M_y) = \text{常数} \quad (3-43)$$

即为与 $\frac{M_c - M_y}{M_y}$ 成比例的常数。